

СИНТЕЗ СИСТЕМ
С ПЕРЕМЕННЫМИ ОПТИЧЕСКИМИ ХАРАКТЕРИСТИКАМИ.
ЧЕТЫРЕХКОМПОНЕНТНЫЕ СИСТЕМЫ

М. Г. Шлякин

Показано, что четырехкомпонентные системы с различной кинематикой могут быть синтезированы из более простых трехкомпонентных схем, построенных на основе одного перемещающегося компонента. Предложенный метод определения параксиальных элементов систем весьма удобен на практике и прост, так как сводится в большинстве случаев к решению линейных уравнений.

Рассмотрим сначала схемы с *U*-образным профилем кулачковой направляющей, в которых третий компонент имеет возвратно-поступательное движение. В этих системах необходимо следить, чтобы значение d_2 было всегда положительным и достаточной величины для исключения потерь кратности изменения фокусного расстояния M при введении толщин из-за невозможности совмещения главных плоскостей в реальных втором и третьем компонентах.

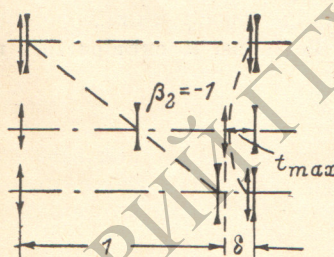


Рис. 1. Система с *U*-образным профилем кулачка.

Если предположить, что минимальной величины d_2 достигает для второго крайнего положения компонентов, тогда достаточно в исходной трехкомпонентной системе отодвинуть третий компонент на величину δ (рис. 1) и на эту же величину увеличить его фокусное расстояние

$$f'_3 = f'_3 + \delta = f'_1 + \delta,$$

сохраняя неизменным положение его переднего фокуса F_3 , и расщепление на две части осуществить уже в преобразованном третьем компоненте.

В статье [1] показано, что в четырехкомпонентных насадках минимуму величины d_2 соответствуют следующие соотношения для увеличений второго и третьего компонентов:

$$\beta_2 = \frac{1}{\beta_3} \quad (1)$$

и

$$\beta_2 = -\frac{1}{\beta_3}. \quad (2)$$

Первое из них справедливо для случая $\varphi_3 > 0$, второе для $\varphi_3 < 0$.

Приведем еще одно очевидное и потребующееся в дальнейшем соотношение

$$d_2 = s'_2 - s_3, \quad (3)$$

где

$$[s_2 = \frac{1 - \beta_2}{\beta_2} f'_2 \text{ и } s'_3 = (1 - \beta_3) f'_3.]$$

Снова рассмотрим два случая.

1. $\varphi_3 > 0$. Полагая $d_{2\min} = \delta$ во втором крайнем положении и имея в виду, что в этом случае $\beta_2 = -\sqrt{M}$, из (1) и (3) получаем выражение

$$f'_3 = \frac{\delta}{1 + \sqrt{M}} - f'_2 \quad \text{или} \quad \varphi_3 = \frac{\delta(1 - \sqrt{M}) - \sqrt{M}}{1 - M}. \quad (4)$$

Величина φ_4 , определяемая из (2), равна

$$\varphi_4 = \frac{\varphi_1}{1 + \delta\varphi_4} - \varphi_3. \quad (5)$$

В более общем случае минимальная величина $d_{2\min}$ может быть достигнута при промежуточных увеличениях системы, тогда во втором крайнем положении $d_2^{\Pi} > d_{2\min}$ и для величины δ , на которую необходимо отодвинуть третий компонент в исходной системе, справедливо неравенство $\delta > d_{2\min}$.

При $T = T_2 + T_3$, принимая во внимание выражение для T из [2] и (1), можно получить соотношение

$$f'_2 + f'_3 = -\frac{\beta_2}{(\beta_2 - 1)^2} T. \quad (6)$$

С другой стороны, из (1) и (3) следует, что

$$f'_2 + f'_3 = \frac{d_{\min}}{1 - \beta_2}. \quad (7)$$

И, наконец, используя известное [2] соотношение $T = 1 - f'_1 - f'_4$, справедливое для четырехкомпонентных афокальных систем, в рассматриваемом нами случае имеем

$$T = 1 + \delta - f'_1 - \frac{(f'_1 + \delta) f'_3}{f'_3 - f'_1 + \delta}. \quad (8)$$

Из выражений (6)–(8) можно получить следующее квадратное уравнение для нахождения f'_3 :

$$f'^2_3 + Pf'_3 - d_{\min}^2 = 0, \quad (9)$$

$$P = f'_2 - d_{2\min} - \frac{B}{A} + \frac{d_{2\min}^2}{A}, \quad A = f'_1 + \delta, \quad B = 1 + \delta - f'_1.$$

Дальнейший переход к φ_3 и φ_4 тривиален.

2. $\varphi_3 < 0$. Также приняв, что во втором крайнем положении $d_{2\min} = \delta$, из (2) и (3) получим

$$f'_3 = \frac{\delta}{1 - \sqrt{M}} + \frac{\sqrt{M} + 1}{\sqrt{M} - 1} \quad \text{или} \quad \varphi_3 = \frac{(\sqrt{M} - 1)^2}{\delta(1 - \sqrt{M}) - \sqrt{M}}. \quad (10)$$

Если принять $\delta = 0$ (этот крайний случай здесь возможен в отличие от системы с положительным третьим компонентом), формулы (10) упрощаются

$$f'_3 = \frac{\sqrt{M} + 1}{\sqrt{M} - 1} f'_2 \quad \text{или} \quad \varphi_3 = \frac{(\sqrt{M} - 1)^2}{\sqrt{M}}, \quad (11)$$

φ_4 по-прежнему определяется из (5).

Для случая с $\varphi_3 < 0$, когда минимальной величины d_2 достигает при промежуточных увеличениях, формулы для определения параксиальных элементов четырехкомпонентной насадки опубликованы в статье [1].

Для обоих рассматриваемых вариантов системы максимальной величины t_{\max} смещение третьего компонента достигает при $\beta_2 = -1$; оно может быть вычислено по следующим формулам:

$$t_{\max} = x'_3 - x'_{3\max}, \quad (12)$$

$x'_{3\max}$ соответствует $\beta_2 = -1$ и вычисляется из выражения [2]

$$x'_3 = Z - \sqrt{Z^2 - f'_3{}^2},$$

где

$$Z = \frac{T}{2} - f'_3 - f'_2 + \frac{x_2}{2} + \frac{f'^2}{2x_2},$$

$$T = 1 + \delta - f'_1 - f'_4,$$

при этом $x_2 < 0$, так как на всем интервале изменения увеличения $\beta_2 < 0$.

Четырехкомпонентные системы с монотонным профилем кулачка

В системах с U -образным профилем кулачка третий компонент при изменении фокусного расстояния меняет на противоположное направление своего движения. Из-за разной ширины направляющих пазов кулачка это приводит к люфтам при движении компонента и, как следствие, к сдвигу плоскости изображения при изменении увеличения системы. Поэтому несомненный интерес представляют объективы с монотонным профилем кулачка, для которых $\partial d_3 / \partial d_2$ сохраняет неизменный свой знак на всем интервале изменения увеличений.

Для этих систем также рассмотрим два случая в зависимости от знака φ_3 .

1. $\varphi_3 > 0$. Синтезируем четырехкомпонентную систему из исходной трехкомпонентной насадки следующим образом. Определив величины φ_1 и φ_2 , исходя из заданной кратности M по формулам, приведенным в [2], ограничим перемещение второго компонента до его положения, соответствующего $\beta_2 = -1$. Тогда интервал изменения увеличений β_2 второго компонента равен \sqrt{M} и такую же кратность изменения увеличений β_3 должен иметь и третий компонент. Зададим для него $\beta_{3\max} = -1$ и при этом $d_2 = 0$, тогда $s'_2 = s_3$ и $f'_3 = -f'_2$, а $\varphi_3 = \frac{(M-1)}{\sqrt{M}}$.

Во втором крайнем положении должно быть $\beta_3 = -1/\sqrt{M}$. Из выражения для T (2) и $T = T_2 + T_3$ следует, что для обоих крайних положений $T = 0$. Условием компенсации сдвига плоскости изображения (СПИ) в данной системе ($T = 0$) является равенство увеличений $\beta_2 = \beta_3$ в любом из промежуточных положений компонентов. Поскольку после третьего компонента плоскость изображения неподвижна при $\varphi_3 > 0$ и $\beta_3 < 0$, в первом крайнем положении при $\beta_3 = -1/\sqrt{M}$ компонент 3 смещается вправо относительно своего положения при $\beta_3 = -1$ на величину

$$t = (x'_3)_{II} - (x'_3)_I = \frac{1}{\sqrt{M} + 1}. \quad (13)$$

Для d_1 во втором крайнем положении имеем

$$d_1^{II} = x_2^I - x_2^{II} = \frac{\sqrt{M}}{\sqrt{M} + 1}. \quad (14)$$

Из рис. 2 следует $d_2^I = d_1^I + t$, с учетом выражений d_2^I и t из (13), (14) получим $d_2^I = 1$.

Если теперь в первом крайнем положении приставить к третьему компоненту четвертый компонент, взяв $d_3^I = 0$, то для обеспечения афокальности системы необходимо $f_4 = (s'_3)^I$. При $\beta_3 = -1/\sqrt{M}$ получим

$$\varphi_4 = -\sqrt{M} - 1. \quad (15)$$

Таким образом, синтезированная четырехкомпонентная насадка имеет, так же как исходная трехкомпонентная система, длину, равную единице.

Нетрудно показать, что в полученной системе выполняется и условие симметричности увеличений. Действительно из [2] и (15) имеем

$$\Gamma_{\text{II}} = -\frac{f'_1}{f_4} = \sqrt{M}.$$

Точка встречи подвижных компонентов, как следует из рис. 2, определяется d_1^{II} и зависит от кратности системы (табл. 1).

В рассмотренной системе перемещение третьего компонента обеспечивает не только компенсацию СПИ, но и получение заданной в системе

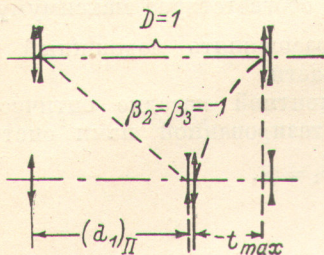


Рис. 2. Система с монотонным профилем кулачка.

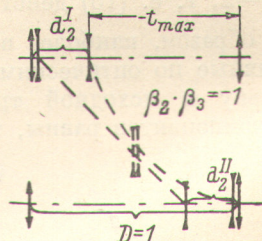


Рис. 3. Система с монотонным профилем кулачка.

требуемой кратности изменения увеличений, так как увеличение компенсирующего компонента изменяется в \sqrt{M} раз.

В ранее рассмотренных системах с U-образным профилем кулачка движение второго компонента обеспечивало получение в системе заданной кратности, а перемещение третьего компонента обеспечивало получение постоянного положения плоскости изображения.

2. $\varphi_3 < 0$. Для данного случая образуем четырехкомпонентную насадку расщеплением второго подвижного компонента исходной трехкомпонентной системы.

Из выражения для T [2] следует, что если при движении второго компонента его фокусное расстояние (optическая сила) могло бы изменяться, то появилась бы возможность сохранить $T = \text{const}$, а значит и афокальность системы при промежуточных увеличениях β_2 .

Если задаться $T = 4f_2$, что соответствует $\beta_2 = -1$, то при промежуточных увеличениях f' , оставаясь отрицательным, должно уменьшаться по абсолютной величине. Если перемещающийся компонент разделить на две части с расстоянием между ними $d = 0$ при $\beta_2 = -1$ и увеличивать это расстояние ($d > 0$) при возрастании и уменьшении β_2 соответственно до $-\sqrt{M}$ и $1/\sqrt{M}$, оптическая сила такого компонента по абсолютной величине будет увеличиваться и в системе можно добиться $T = 0$ для всех увеличений.

С целью получения меньшей длины системы необходимо, чтобы требуемое изменение оптической силы подвижного компонента происходило при возможно минимальном расстоянии d между расщепленными частями подвижного компонента.

Из известной формулы

$$\varphi = \varphi_1 + \varphi_2 - \varphi_1 \varphi_2 d = \varphi_0 - \varphi_1 \varphi_2 d$$

Таблица 1

| M | 2 | 4 | 10 | 16 | 20 | 25 |
|-------------------|------|------|------|------|------|------|
| d_1^{II} | 0.58 | 0.67 | 0.76 | 0.80 | 0.82 | 0.83 |

следует, что максимуму изменения $\Delta\varphi$ при фиксированном значении d соответствует максимум величины $\varphi_1 \varphi_2$. Определим, при каком соотношении между оптическими силами обеих частей расщепленного компонента произведение $\varphi_1 \varphi_2$ достигает максимума.

Обозначив φ_0 оптическую силу подвижного компонента до расщепления, найдем производную $\frac{d(\varphi_1\varphi_2)}{d\varphi_1}$

$$\frac{d(\varphi_1\varphi_2)}{d\varphi_1} = \frac{d[\varphi_1(\varphi_0 - \varphi_1)]}{d\varphi_1} = \varphi_0 - 2\varphi_1.$$

Приравняв $\frac{d(\varphi_1\varphi_2)}{d\varphi_1} = 0$, получим

$$\varphi_0 = 2\varphi_1. \quad (16)$$

$\frac{d^2(\varphi_1\varphi_2)}{d^2\varphi_1} = -2$, т. е. (16) действительно соответствует максимуму $\varphi_1\varphi_2$.

Таким образом, наиболее выгодно расщеплять подвижный компонент на две равные по оптическим силам части.

Поскольку в исходной трехкомпонентной насадке оптические силы внешних компонентов равны, то в синтезированной нами системе имеем

$$\varphi_1 = \varphi_4 \text{ и } \varphi_2 = \varphi_3. \quad (17)$$

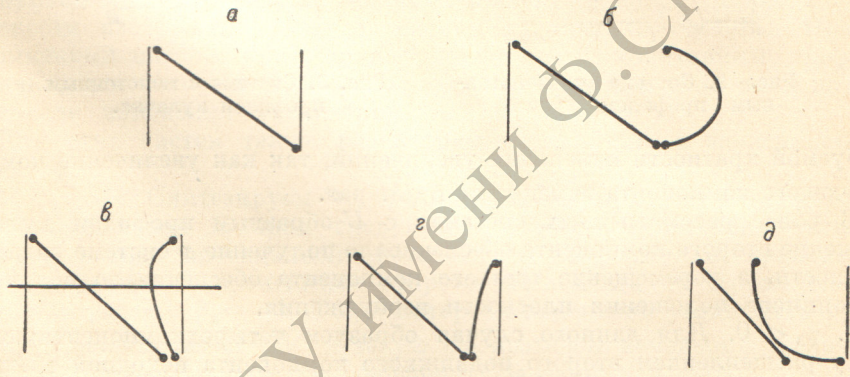


Рис. 4. Кинематические схемы афокальных насадок.

a — тип 1, б — тип 2, в — тип 3 и 4, г — тип 5, д — тип 6.

Сохраняется в ней и условие симметричности увеличений: угловое увеличение меняется от $1/\sqrt{M}$ до \sqrt{M} . Действительно $\Gamma = -\frac{f'_1}{f'_4}\beta_2\beta_3 = -\beta_2\beta_3$, а произведение $\beta_2\beta_3$, как мы приняли выше, имеет закон изменения, эквивалентный изменению увеличения подвижного компонента в симметричной трехкомпонентной насадке.

Поскольку в образованной нами четырехкомпонентной системе $f'_{\Pi} = 2f'_1$, где f'_{Π} — величина фокусного расстояния подвижного компонента исходной трехкомпонентной системы, то

$$T = 4f'_{\Pi} = 2f'_1 \quad (18)$$

и, приняв длину четырехкомпонентной системы за 1, из (17) и $T = 1 - f'_1 - f'_4$ имеем условие афокальности при $\Gamma = 1$

$$2f'_2 = 1 - 2f'_1. \quad (19)$$

Приняв $d_1^I = 0$ и $d_3^{II} = 0$ (рис. 3), учитывая также, что в крайних положениях расщепленный компонент $(\varphi_2 + \varphi_3)$ работает с симметричными увеличениями, для компенсации СПИ требуется одинаковая «раздвижка» расщепленного компонента, т. е. $d_2^I = d_2^{II}$.

Условия афокальности системы при первом из крайних увеличений и заданной кратности могут быть представлены в виде

$$\frac{1}{\sqrt{M}} = -\frac{\varphi_1}{\varphi_1 + 2\varphi_2 + (\varphi_1 + \varphi_2)\varphi_2 d_2^I}, \quad (20)$$

$$\frac{1}{\sqrt{M}} = \frac{1 - (1 - d_2^I) \varphi_1}{1 - d_2^I (\varphi_1 + \varphi_2)} . \quad (21)$$

Совместное решение (19)–(21) приводит к квадратному уравнению

$$\varphi_2^2 + \frac{4 \sqrt{M}}{1 - \sqrt{M}} \varphi_2 - 4 \sqrt{M} = 0, \quad (22)$$

из которого определяются

$$\varphi_2 = \varphi_3 = \frac{2 \sqrt{M}}{\sqrt{M} - 1} A, \quad (23)$$

где $A = 1 - \sqrt{\sqrt{M} + \frac{1}{\sqrt{M}} - 1}$.

Далее из (19) находим

$$\varphi_1 = \varphi_4 = \frac{2 \varphi_2}{\varphi_2 - 2} \quad (24)$$

и из (21)

$$d_2^I = d_2^{II} = \frac{\sqrt{M} - 1}{2 \sqrt{M}} . \quad (25)$$

В рассмотренной системе, как и в предыдущей, движение обоих компонентов обеспечивает одновременно как получение заданной кратности изменения увеличения объектива, так и компенсацию СПИ. Более того,

Таблица 2

Параметры различных схем афокальных насадок

| № п/п | Силы компонентов φ_i ($M = 16$), длина системы | Знак компен- сирую- щего ком- понента | Тип кулачка, его относитель- ная длина ($M = 16$) | Область применения | Типы и названия объективов |
|----------|---|---|--|---|---|
| 1 | 2 | 3 | 4 | 5 | 6 |
| 1 | $\varphi_1 = 0.75$ $\varphi_2 = -3.75$ $\varphi_3 = 0.75$ $D = 1$ | — | Отсутствует | Объективы с дискрет- ным изменением лю- бой кратности | «Гранит ТМ-1» |
| 2 | $\varphi_1 = 0.75$ $\varphi_2 = -3.75$ $\varphi_3 = 0.75$ $D = 1.6$ | + | U -образный (внешний), $t = 0.6$ | Киносъемочные коротко- фокусные системы ма- лой кратности $M =$ $= 2 \div 3$ | «Агат» |
| 3 | $\varphi_1 = 0.75$ $\varphi_2 = -3.75$ $\varphi_3 = -2.25$ $\varphi_4 = 3$ $D = 1.0$ | — | U -образный (внутренний), $t = +0.17$ | Системы большой и средней кратности: киносъемочные, тел- визионные | «Варотал», «Шнейдер», «Канон», «Гранит», «Вариогамма» |
| 4 | $\varphi_1 = 0.75$ $\varphi_2 = 3.75$ $\varphi_3 = 3.33$ $\varphi_4 = -2.67$ $D = 1.05$ | + | U -образный (внутренний), $t = 0.11$ | Фотографические си- стемы малой крат- ности | «Тамрон», «Гексанон», «Вивитар» и др. |
| 5 | $\varphi_1 = 0.75$ $\varphi_2 = -3.75$ $\varphi_3 = 3.75$ $\varphi_4 = -3.0$ $D = 1.0$ | + | Монотонный (внутренний), $t = 0.2$ | Телевизионные и кино- съемочные системы большой и средней кратности | «Анженье», «Вариогор» |
| 6 | $\varphi_1 = 1.03$ $\varphi_2 = -2.14$ $\varphi_3 = -2.14$ $\varphi_4 = 1.03$ $D = 1$ | — | Монотонный (внутренний), $t = 0.625$ | Телевизионные системы средней кратности, не широкоугольные | «Варотал» |

так как величины перемещений обоих подвижных компонентов одинаковы ($d_3^I = d_1^{II}$), то по кулачковой (нелинейной) направляющей может двигаться любой из них.

В табл. 2 и на рис. 4 приведены характеристики и оптические силы компонентов и схемы рассмотренных вариантов насадок.

Исходная трехкомпонентная насадка Грамацкого (тип 1) применяется в настоящее время для разработки объективов с дискретно изменяющимся фокусным расстоянием, так как при промежуточных увеличениях она имеет недопустимо большой СПИ.

Модифицированная насадка Грамацкого (тип 2) с перемещающимся по кулачку одним из внешних компонентов иногда используется для построения короткофокусных систем малой кратности $M=2.5-3^x$, применяющихся в 8-миллиметровых кинокамерах простого класса.

Наибольшее практическое распространение получила система с U -образным профилем кулачка и отрицательным третьим компонентом (тип 3). Оптическая сила его в этой схеме заметно меньше, чем в других системах. На базе этой схемы построено большое число отечественных и зарубежных систем большой кратности. Меньшие силы подвижных компонентов, в частности третьего, позволяют при идентичных оптических характеристиках получать системы наименьшей длины и габаритов.

Система с положительным третьим компонентом (тип 4) и возвратно-поступательным движением имеет заметно большую его оптическую силу и используется для разработки систем малой кратности ($2-3^x$), как правило, фотографических (объективы «Тамрон», «Вивитар», «Гексанон»).

При малых M оптические силы всех компонентов заметно меньше и разница между различными вариантами систем не столь существенна. Схема с монотонным профилем кулачка и положительным третьим компонентом (тип 5) также используется для построения значительного числа систем средней и большой кратности. Хотя компенсирующий компонент в этой системе имеет большую оптическую силу, однако монотонный и плавный профиль кулачка позволяет создать более надежную и простую механическую и кинематическую конструкции объектива.

Схема с отрицательным третьим компонентом и монотонным профилем кулачка (тип 6) получила ограниченное применение в основном для систем средней кратности с небольшим угловым полем зрения. При увеличении углового поля зрения в этой схеме резко растут диаметры ее фронтальных компонентов и, как следствие, вес и габариты объектива. Другим недостатком, ограничивающим ее распространение, является увеличенная, более чем в 2 раза по сравнению с другими системами, протяженность кулачковой направляющей.

Рассмотренные четырехкомпонентные насадки в первую очередь третьего типа сами могут использоваться в качестве элементов для построения более сложных двухкаскадных систем с особо большой кратностью ($M=30-50$) изменения фокусных расстояний. Изложенная выше методика синтеза систем, исходным элементом которой является одиночный перемещающийся отрицательный компонент, показывает, что при осуществлении, например, 30-кратной системы из двух последовательно установленных насадок кратностью 10^x и 3^x , в которых используются компоненты одного и того же фокусного расстояния f' , общая длина системы определяется величинами перемещений подвижных компонентов в обеих насадках.

Из выражения для Δ [2] при $M=10$ и $M=3$ имеем

$$\Delta_1 = 2.84f', \quad \Delta_2 = 1.16f' \quad \text{и} \quad L = \Delta_1 + \Delta_2 = 4f'.$$

Если же 30-кратный объектив осуществлять на основе одной четырехкомпонентной насадки, длина которой равна величине перемещения одного отрицательного компонента того же фокусного расстояния, то при $M=30$ имеем

$$L = \Delta = 5.3f',$$

т. е. в двухкаскадной системе при той же кратности можно получить на 25% меньшую длину объектива, что весьма важно.

В заключение хочется подчеркнуть, что предложенная выше методика синтеза из простейших элементов более сложных панкратических систем позволяет логично и весьма просто определять параксиальные элементы различных типов двух-, трех- и четырехкомпонентных объективов, которые получили наибольшее распространение на практике. Особенно следует отметить простоту предложенного метода, основанного на изучении и использовании свойств простейшего элемента — одиночного подвижного компонента. Задача сводится, как правило, к решению некоторых линейных уравнений, либо в отдельных случаях (тип б) к решению квадратного уравнения, что также не представляет трудностей.

Литература

- [1] М. С. Стефанский, Н. А. Градобоеva, И. Е. Исаева, Т. В. Рубахина. Оптико-механич. промышл., № 8, 24, 1970.
- [2] М. Г. Шпакин. Автореф. канд. дис., Л., 1971.

Поступило в Редакцию 3 января 1980 г.